

استفاده از یادگیری تقویتی برای حفظ تعادل روبات PendubotTM

گزارش فنی پروژه‌ی تحقیقاتی

استاد: دکتر بهزاد صمدی

محمد نخبه زعیم، محسن فلاحی، دانیال خشابی

دانشگاه صنعتی امیرکبیر (پلی تکنیک تهران)، دانشکده ی مهندسی برق، آزمایشگاه کنترل صنعتی

{nokhbeh100,mfalahi13,d.khashabi}@gmail.com

چکیده

در این گزارش فنی، خلاصه‌ای از پیشرفت پروژه‌ی حفظ تعادل روبات Pendubot ارائه خواهد شد. در ابتدا معادلات دینامیکی روبات Pendubot معرفی می‌شوند. در ادامه کلیات یادگیری تقویتی معرفی خواهد شد. سپس دو دسته از الگوریتم‌های یادگیری تقویتی بامدل و بدون مدل معرفی می‌شود. با توجه به ماهیت پیوسته-ی حالت‌ها در سیستم‌های واقعی، برخی از روش‌های مهم تقریب تابع بررسی خواهند شد. در واقع از چنین ساختارهایی به عنوان هسته‌ی یادگیری تقویتی استفاده خواهد شد. در انتها نیز نتایج برخی از شبیه‌سازی‌ها روی چندین مساله ارائه شده است.

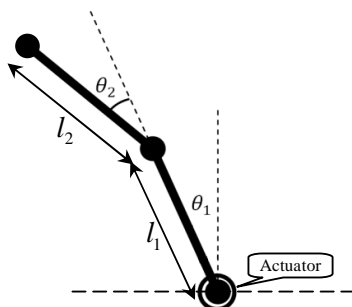
واژه‌های کلیدی: یادگیری تقویتی، حفظ تعادل، روبات Pendubot.

۱. مقدمه

مساله‌ی حفظ تعادل از اساسی‌ترین و مهم‌ترین مسائل مهندسی کنترل است. به علت ماهیت پایداری فرار آن، رسیدن به آن، بخصوص در پیاده‌سازی واقعی بسیار دشوار است. مساله‌ی حفظ تعادل روبات Pendubot مساله‌ای چالش برانگیز است که به علت وجود معادلات‌های کاربردی متعدد برای آن، بسیار مورد توجه قرار گرفته است. نمونه‌ای از توجهات به این مساله را می‌توان در یافت. در اینجا سعی شده است با استفاده از یادگیری تقویتی Pendubot از حالت افتاده، به حالت ایستاده انتقال یابد.

۲. تعریف دقیق صورت مساله

در این قسمت معادلات حاکم بر یک روبات Pendubot را بررسی می‌کنیم. این روبات شامل دو بازو است که به هم متصل شده‌اند. در انتهای پایین‌ترین بازو، موتور قرار دارد که می‌تواند در هر لحظه در دو جهت حرکت کند (شکل - ۱). در حالتی که موتور به جای قرار گرفتن در ابتدای بازوی اول، در نقطه‌ی اتصال دهنده‌ی بازوی اول و دوم قرار گیرد، روبات مورد نظر Acrobot نامیده می‌شود [1].



شکل - ۱- تصویر مدل روبات Pendubot

بازوی اول دارای طول l_1 و مرکز جرم l_{c1} و m_1 همچنین جرم است؛ بصورت مشابه بازوی دوم دارای طول l_2 و مرکز جرم l_{c2} و جرم m_2 می باشد. می توان معادلات دینامیکی سیستم را به این صورت نوشت:

$$\begin{cases} d_{11}\ddot{\theta}_1 + d_{12}\ddot{\theta}_2 + h_1 + \phi_1 = \tau \\ d_{12}\ddot{\theta}_1 + d_{22}\ddot{\theta}_2 + h_2 + \phi_2 = 0 \end{cases}$$

اگر مقدار پارامترهای مساله بصورت ذیل باشد:

$$d_{11} = m_1 l_{c1}^2 + m_2 (l_1^2 + l_{c2}^2 + 2l_1 l_{c2} \cos(\theta_2)) + I_1 + I_2$$

$$d_{22} = m_2 l_{c2}^2 + I_2$$

$$d_{12} = m_2 (l_{c2}^2 + l_1 l_{c2} \cos(\theta_2)) + I_2$$

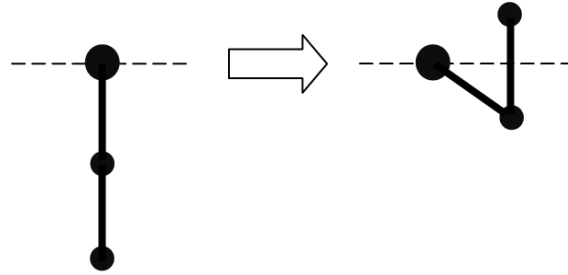
$$h_1 = -m_2 l_1 l_{c2} \sin(\theta_2) \dot{\theta}_2^2 - 2m_2 l_1 l_{c2} \sin(\theta_2) \dot{\theta}_2 \dot{\theta}_1$$

$$h_2 = m_2 l_1 l_{c2} \sin(\theta_2) \dot{\theta}_1^2$$

$$\phi_1 = (m_1 l_{c1} + m_2 l_1) g \cos(\theta_1) + m_2 l_{c2} g \cos(\theta_1 + \theta_2)$$

$$\phi_2 = m_2 l_{c2} g \cos(\theta_1 + \theta_2)$$

هدف در این مساله این است که روبات را از حالت عادی، به حالتی منتقل کنیم که بازوی دوم در حالت ایستاده قرار گیرد.



شکل - ۲- انتقال روبات از حالت طبیعی به حالت متعادل ایستاده

۳. یادگیری تقویتی

یادگیری تقویتی مدلی از یادگیری را ارائه می کند که در آن هدف، آموزش به سیستم از روی تکرار آزمایش است. به ازای هر عمل مناسب به سیستم پاداش داده شده و به ازای هر عمل مناسب تر، پاداش^۱ بیشتری به سیستم داده خواهد شد؛ بر عکس به ازای اعمال نامطلوب، مقداری پاداش کمتری به سیستم داده می شود. پاداش سیستم در لحظه t -ام را با $r_t(s, a)$ نشان می دهیم که در آن s ، حالت سیستم و a ، عملی است که در حالت مورد نظر انجام خواهد شد. در بسیاری از مواقع می توان پاداش را تنها تابعی از حالت سیستم s تعریف کرد. اصطلاحاً به این پاداش «پاداش آنی یا لحظه ای»^۲ گفته می شود. چرا که از آن برای ارزیابی شرایط موجود و بدون توجه به گذشته و آینده استفاده می شود. معمولاً «تابع پاداش» توسط آموزنده تعریف می شود.

با توجه به اینکه در یادگیری تقویتی اغلب اعمالی را مد نظر داریم که نتیجه ای آنها وابسته به بهینه بودن مجموعه ای از اعمال پشت سر هم دارد، لازم است تک تک پاداش های آنی، تا حد امکان بیشترین مقدار خود را داشته باشند. در نهایت هدف نهایی

1 Reward
2 Immediate reward

در یک مساله‌ی یادگیری تقویتی افزایش مجموع پاداش‌های آنی است. چرا که با این کار سعی بر افزایش تک‌تک مقادیر پاداش‌های لحظه‌ای داریم. متداول‌ترین تعریف برای مجموع پاداش‌های آنی مطابق رابطه‌ی (۱) است که به «مجموع تخفیف-یافته‌ی پاداش»^۳ مشهور است.

$$R = \lim_{h \rightarrow \infty} E \left[\sum_{t=0}^h \gamma^t r_t(s, a) \right] \quad (1)$$

در رابطه‌ی (۱) منظور از $t = 0$ لحظه‌ی کنونی است. لذا تمامی $t > 0$ معرف لحظات آینده‌اند. همچنین عامل γ ضریب تخفیف^۴ نام دارد که عددی در محدوده‌ی $0 \leq \gamma < 1$ قرار دارد. هدف از در نظر گرفتن چنین ضریبی چندین دلیل می‌تواند داشته باشد:

- با توجه به اینکه مقادیر $r_t(s, a)$ می‌تواند هر مقداری باشند، هیچ تضمینی بر محدود بودن مجموع $\lim_{h \rightarrow \infty} E \left[\sum_{t=0}^h r_t(s, a) \right]$ وجود ندارد. در صورتی که بتوان کران بالایی را برای $r_t(s, a)$ در نظر گرفت، بطوریکه اگر $|r_t(s, a)| \leq M$ با قرار دادن ضریب تخفیف γ ، همگرایی رابطه‌ی (۱) اثبات می‌شود.
- با قراردادن ضریب تخفیف γ ، به اعمالی که مربوط به آینده‌ی نزدیک هستند، اهمیت بیشتری داده می‌شود.
- از نظر عملی چون پیاده‌سازی بی‌نهایت جمع امکان‌پذیر نیست با کوچک‌تر شدن عامل γ^t به ازای مقادیر t بزرگ، می‌توان با تقریب، تنها به محاسبه‌ی جمع پاداش چندین لحظه‌ی آینده پرداخت. برای مثال به ازای $\gamma = 0.9$ اعمال محاسبات تنها روی ۲۰ لحظه‌ی آینده، کاری معقول به نظر می‌رسد.

صورت دیگری از رابطه‌ی (۱) را می‌توان به شکل رابطه‌ی (۲) نوشت. در این رابطه عامل تخفیف γ صرف نظر شده‌است و برای تضمین همگرایی از میانگین‌گیری^۵ استفاده شده‌است.

$$R = \lim_{h \rightarrow \infty} E \left[\frac{\sum_{t=0}^h r_t(s, a)}{h} \right] \quad (2)$$

هر کدام از روابط (۱) و (۲) می‌توانند مزیت‌هایی نسب به همدیگر داشته باشند؛ بسیاری از پدیده‌ها نیازمند رخداد اعمال متوالی زیادی هستند که نمی‌توان بین آنها تفاوت قائل شد. در واقع هر عمل اشتباه می‌تواند به خارج شدن سیستم از مسیر حرکت درست شود. حال آنکه این عمل می‌تواند در آینده‌ای نزدیک صورت گیرد یا در آینده‌ای دور. البته چون در عمل توانایی پیش-بینی آینده برای تصمیم‌گیرنده به صورت کامل امکان‌پذیر نیست، ممکن است پیش‌بینی‌های نادرستی از انجام عمل در آینده انجام دهیم. لذا با قراردادن ضریب تخفیف γ اهمیت بیشتری به اعمال در آینده‌ی نزدیک نسبت به آینده‌ی دور می‌دهیم. با توجه به آنچه گفته شد می‌توان عامل تخفیف γ را با توجه میزان توانایی خود در پیش‌بینی حالت آینده تنظیم کنیم. هر چقدر که محیط قطعی‌تر و دقیق‌تر باشد، می‌توان این ضریب را به مقداری نزدیک یک تنظیم کرد. در غیر این صورت هر چه محیط غیرقطعی‌تر و همراه با خطا باشد، باید به آن مقادیر کمتر نسبت داد.

در سیستم‌هایی که عمل مورد نظر شامل زمان محدودی است، می‌توان مدل مجموع پاداش‌ها را بصورت «مجموع زمان محدود»^۶ مطابق رابطه (۳) تعریف کرد که در آن h_0 مقداری مشخص و محدود است.

3 Cumulative discounted reward

4 Discount factor

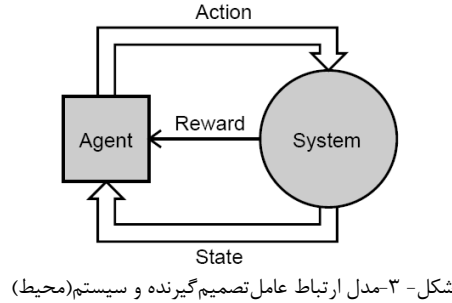
5 Average cumulative reward

6 Finite horizon cumulative reward

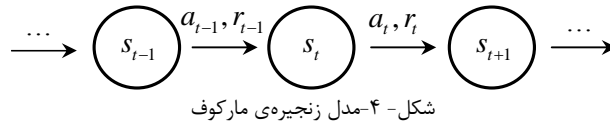
$$R = E \left[\sum_{t=0}^{h_0} r_t(s, a) \right] \quad (3)$$

۴. فرایند تصمیم‌گیری مارکوف

با توجه به فرمول‌بندی اولیه‌ی یادگیری تقویتی که در قسمت قبل شرح داده‌شد، عمل بهینه‌سازی روی محیطی انجام می‌گیرد که در ارتباط دائم محیط و تصمیم‌گیرنده است. با تقریب بسیار مناسبی می‌توان ساختار محیط را توسط یک فرایند تصمیم‌گیری مارکوف^۷ توصیف کرد. در ادامه تعریف یک فرایند تصمیم‌گیری مارکوف یا MDP ارائه می‌شود.



یک محیط مارکوفی به محیطی گفته می‌شود که حالت آینده‌ی سیستم، تنها به حالت گذشته‌ی سیستم و عملی که در آن حالت انجام می‌شود، بستگی داشته‌باشد. بنابراین می‌توان حالت‌های سیستم را مطابق شکل - ۴ توصیف کرد. چنین پدیده‌هایی تحت عنوان «زنجیره‌ی مارکوف» توصیف و بررسی می‌شوند. چرا که با وابسته‌بودن هر حالت به حالت/عمل لحظه‌ی قبل، با دانستن حالت سیستم در زمانی دلخواه و مشخص‌بودن سیاست انتخاب عمل تصمیم‌گیرنده، حالت‌های آینده‌ی آن را می‌توان پیش‌بینی کرد.



یک فرایند تصمیم‌گیری مارکوف از چهارتایی $\{S, A, r, T\}$ تشکیل شده‌است. $S = [s_1, s_2, s_3, \dots]$ برداری است که شامل تمامی حالاتی است که سیستم می‌تواند در آن قرار داشته باشد. $A = [a_1, a_2, a_3, \dots]$ مجموعه‌ی تمامی اعمالی است که عامل می‌تواند انجام دهد. r تابع پاداش آنی است که بصورت $r: S \times A \rightarrow \mathbb{R}$ تعریف می‌شود. T تابع انتقال^۸ نام دارد که بصورت $T: S \times A \rightarrow P(s)$ تعریف می‌شود. تابع انتقال حالت آینده‌ی سیستم یا s' را با توجه به حالت و عمل کنونی مشخص می‌کند. در اینجا فرض کرده‌ایم که عمل انتقال به حالت بعدی بصورت یک بردار احتمالی بصورت $P(s) = [\Pr(s_1), \Pr(s_2), \Pr(s_3), \dots]$ است که نشان می‌دهد با حضور در حالت s و انجام عمل a احتمال حضور در حالت s_i چقدر است. در حالت کلی این تابع می‌توان احتمالی^۹ یا قطعی^{۱۰} باشد. همچنین هرکدام از مجموعه‌های S و A نیز می‌توانند گسسته یا پیوسته باشند.

7 Markov Decision Process(MDP)

8 Transition function

9 Stochastic

در نهایت پس از مدل سازی محیط، هدف بدست آوردن یک سیستم تصمیم گیری^{۱۱} بهینه است. یک سیاست π را به صورت $\pi: S \rightarrow A$ تعریف می کنیم. تابع سیاست مشخص می کند در هر حالت سیستم چه عملی باید انجام شود.

$$a = \pi(s) \quad (۴)$$

۵. یادگیری بامدل

با توجه به مشخص بودن تابع انتقال T می توان آنالیز مسائل را به دو دسته ی بامدل^{۱۲} و بی مدل^{۱۳} تقسیم کرد. یادگیری بامدل بدین معنی است که در محیطی عمل می کنیم که می دانیم با قرار داشتن در حالت s و انجام عمل a با احتمال مشخصی به حالت s' در آینده خواهیم رفت. تمامی روش هایی از آموزش که در این قسمت معرفی می شوند، «بامدل» هستند.

۵.۱. تابع ارزش^{۱۴}

با توجه به رابطه ی (۲) اگر این رابطه را میزان ارزش^{۱۵} تصمیم گیری تحت سیاست π بنامیم، تابع ارزش را به این صورت از روی رابطه ی (۲) تعریف می کنیم:

$$V^\pi(s) = E \left[\sum_{t=0}^{\infty} \gamma^t r_t(s, \pi(s)) \right] \quad (۵)$$

با توجه به آنچه که گفته شد هدف ماکزیمم کردن تابع ارزش $V(s)$ می باشد؛ در واقع به دنبال سیاستی بهینه هستیم که باعث شود مقدار (۵) ماکزیمم گردد. اگر سیاست بهینه را با π^* نشان می دهیم و تابع ارزشی را که تحت سیاست بهینه انجام شود را $V^*(s) = V(s)|_{\pi=\pi^*}$ نشان دهیم داریم:

$$V^*(s) = \max_{\pi=\pi^*} E \left[\sum_{t=0}^{\infty} \gamma^t r_t(s, \pi(s)) \right] \quad (۶)$$

در این صورت سیاست بهینه برابر خواهد بود با:

$$\pi^*(s) = \arg \max_{\pi} V^\pi(s) = \arg \max_{\pi} E \left[\sum_{t=0}^{\infty} \gamma^t r_t(s, \pi(s)) \right] \quad (۷)$$

در صورتی که رابطه ی (۵) را ساده کنیم به رابطه ی زیر خواهیم رسید که ارتباط بین ارزش دو حالت متوالی را برقرار می سازد. جزئیات اثبات این رابطه در [2] آمده است.

$$V^\pi(s) = r(s, \pi(s)) + \gamma \sum_{s' \in S} V^\pi(s') T(s, \pi(s), s') \quad (۸)$$

لذا تابع ارزش متناسب با سیاست بهینه به صورت زیر تبدیل خواهد شد:

$$V^*(s) = \max_a \left[r(s, a) + \gamma \sum_{s' \in S} V(s') T(s, a, s') \right] \quad (۹)$$

و تعریف سیاست بهینه نیز به صورت زیر تغییر می کند:

$$\pi^*(s) = \arg \max_a \left[r(s, a) + \gamma \sum_{s' \in S} V(s') T(s, a, s') \right] \quad (۱۰)$$

10 Deterministic
11 Decision policy
12 Model-based
13 Model-free
14 Value function
15 Value

معادلات (۹) و (۱۰) به معادلات بهینگی بلمن^{۱۶} معروف هستند. نکته‌ای که در معادلات بهینگی اخیر نهفته است، این است که با شروع روی زنجیره‌ی اعمال بهینه و انجام یک عمل، ادامه‌ی زنجیره با فرض آغاز حرکت از آن نقطه، در ادامه‌ی زنجیره‌ی قبلی خواهد بود. در واقع با این فرض است که می‌توان گفت در صورت تشخیص زنجیره‌ای به عنوان مجموعه‌ی اعمال برای رسیدن به بهینه‌ترین حالت، اگر تابع انتقال در لحظه‌ی آینده تغییر نکند، در لحظه‌ی آینده همان زنجیره به عنوان زنجیره‌ی اعمال بهینه انتخاب خواهد شد.

در صورتی که فرض کنیم تابع انتقال بصورت قطعی است، می‌توان معادلات بهینگی بلمن را ساده‌تر نوشت. در این حالت می‌توان معادله‌ی انتقال را بصورت رابطه‌ی نوشت. به عبارت دیگر با مشخص بودن حالت کنونی s و عمل مورد نظر a برای انجام، حالت آینده s' به صورتی قطعی مشخص خواهد بود.

$$s' = T(s, a) \quad (۱۱)$$

در این حالت معادلات (۹) و (۱۰) به ترتیب به صورت (۱۲) و (۱۳) ساده خواهند شد.

$$V^*(s) = \max_a [r(s, a) + \gamma V(s')] \quad (۱۲)$$

$$\pi^*(s) = \arg \max_a [r(s, a) + \gamma V(s')] \quad (۱۳)$$

۵.۲. تابع Q ^{۱۷}

تابع Q را مشابه تابع ارزش تعریف می‌کنیم، با این تفاوت که تابع Q علاوه بر اینکه تابع حالت سیستم s است، تابع عمل a نیز هست. رابطه‌ی بین تابع ارزش و تابع Q به اینصورت تعریف می‌شود:

$$V^\pi(s) = Q(s, \pi(s)) \quad (۱۴)$$

$$Q^\pi(s, a) = r(s, a) + \gamma \sum_{s' \in S} T(s, a, s') Q^*(s', \pi(s')) \quad (۱۵)$$

لذا برای استراتژی بهینه داریم:

$$Q^*(s, a) = r(s, a) + \gamma \sum_{s' \in S} T(s, a, s') \max_{a'} Q^*(s', a') \quad (۱۶)$$

$$\pi^*(s) = \arg \max_a Q^*(s, a) = \arg \max_a \left[r(s, a) + \gamma \sum_{s' \in S} T(s, a, s') \max_{a'} Q^*(s', a') \right] \quad (۱۷)$$

با در نظر گرفتن تابع ارزش و تابع Q برای استراتژی بهینه داریم:

$$V^*(s) = \max_a Q^*(s, a) \quad (۱۸)$$

در صورتی که فرض کنیم تابع انتقال بصورت قطعی است، می‌توان معادلات بهینگی برای تابع Q را ساده‌تر نوشت. در این حالت می‌توان معادله‌ی انتقال را بصورت رابطه‌ی نوشت. به عبارت دیگر با مشخص بودن حالت کنونی s و عمل مورد نظر a برای انجام، حالت آینده s' به صورتی قطعی مشخص خواهد بود.

$$s' = T(s, a) \quad (۱۹)$$

در این حالت معادلات (۱۶) و (۱۷) به ترتیب به صورت (۲۰) و (۲۱) ساده خواهند شد.

$$Q^*(s, a) = r(s, a) + \gamma \max_{a'} Q^*(s', a') \quad (۲۰)$$

16 Bellman optimality equations

17 Q-function

$$\pi^*(s) = \arg \max_a \left[r(s, a) + \gamma \max_{a'} Q^*(s', a') \right] \quad (21)$$

۵.۳. راه حل صریح برای یادگیری با مدل

در صورتی که فضای حالت‌ها گسسته باشند و همچنین مدل سیستم مشخص باشد، می‌توان میزان تابع ارزش را بصورت صریح حل کرد و جواب آن را بدست آورد. با توجه به رابطه‌ی (۸) داریم:

$$V^\pi = R^\pi + \gamma T^\pi V^\pi \quad (22)$$

در رابطه‌ی اخیر V^π بردار ارزش به ازاش هر حالت است و T^π بردار انتقال حالت‌ها تحت سیاست π است. همچنین R^π بردار پاداش به ازای حالت‌های سیستم است. با حل معادله‌ی ماتریسی (۲۲) می‌توان مقدار ماتریس ارزش برای سیاست π را بدست آورد.

$$V^\pi (1 - \gamma T^\pi) = R^\pi \quad (23)$$

$$V^\pi = R^\pi (1 - \gamma T^\pi)^{-1} \quad (24)$$

با محدود بودن تعداد سیاست‌ها، می‌توان سیاست بهینه را از حل ماتریس ارزش آنها بدست آورد.

۵.۴. راه حل تکراری: تکرار روی تابع ارزش^{۱۸}

رابطه‌ی (۹) را در نظر می‌گیریم. می‌توان با تکرار بی‌نهایت نسبت‌دهی زیر، مقدار $V^*(s)$ را بدست آورد.

$$\forall s \in S : V_{k+1}^*(s) := \max_a \left[r(s, a) + \gamma \sum_{s' \in S} V_k(s') T(s, a, s') \right] \quad (25)$$

$$\forall (s, a) \in (S, A) : Q_{k+1}^*(s, a) := r(s, a) + \gamma \sum_{s' \in S} T(s, a, s') \max_{a'} Q_k^*(s', a') \quad (26)$$

اثبات همگرایی این تکرار در [2] آمده‌است. می‌توان الگوریتم روش تکرار روی تابع ارزش را بصورت ذیل بیان کرد [3]:

initialize $V_0(s)$ arbitrarily

loop until policy good enough{

loop for $s \in S$ {

loop for $a \in A$ {

$$Q(s, a) := r(s, a) + \gamma \sum_{s' \in S} T(s, a, s') \max_{a'} Q(s', a')$$

 }

$$V(s) := \max_a Q(s, a)$$

 }

}

با محاسبه‌ی $V^*(s)$ یا $Q^*(s, a)$ می‌توان استراتژی بهینه π^* را بدست آورد.

۵.۵. راه حل تکراری: تکرار روی سیاست^{۱۹}

با داشتن هر سیاست، می‌توان مقدار تابع تابع $Q(s, a)$ و تابع $V(s)$ را محاسبه کرد. لذا می‌توان جستجو را روی سیاست‌ها انجام داد. الگوریتم تکرار روی سیاست به اینصورت است [3]:

choose an arbitrary π_0

loop until policy good enough{

18 Value iteration

19 Policy iteration

compute value function of policy π_k :

solve the linear equations o

$$\begin{aligned} V^{\pi_k}(s) &:= \max_a \left[r(s, a) + \gamma \sum_{s' \in S} V^{\pi_k}(s') T(s, a, s') \right] \\ \pi_{k+1}(s) &:= \arg \max_a \left[r(s, a) + \gamma \sum_{s' \in S} V^{\pi_k}(s') T(s, a, s') \right] \\ k &\leftarrow k + 1 \\ \} \end{aligned}$$

۶. یادگیری مستقل از مدل

در تمامی مدل‌هایی از یادگیری تقویتی که تاکنون معرفی شد، فرض بر این بود که تابع انتقال حالت T مشخص است. در ادامه روش‌هایی از یادگیری تقویتی را مرور می‌کنیم که در آنها، یادگیری مستقل از مدل سیستم است. با توجه به اینکه در واقعیت سیستم‌ها به قدری پیچیده‌اند که امکان مدل‌سازی و تعیین تابع انتقال حالت T امکان‌پذیر نیست، لذا استفاده از مدل‌هایی که در اینجا مرور می‌کنیم، بسیار می‌توانند سودمند باشند.

۶.۱. یادگیری اختلاف محیطی^{۲۰}

در این مدل روشی برای یادگیری تابع V ارائه می‌شود که نیازی به دانستن مدل محیط نیست. اگر روابط (۱۶) و (۹) را در نظر بگیریم، برای اعمال این روابط باید حتماً مدل سیستم را داشته باشیم؛ چرا که نیاز به داشتن تابع انتقال $T(s, a, s')$ است. در صورتی که بتوان روشی مستقل از تابع انتقال $T(s, a, s')$ برای یاددهی به سیستم یافت، می‌توان به روش یادگیری مستقل از مدل دست یافت.

مدل یادگیری اختلاف محیطی یا $TD(0)$ روشی برای اعمال بروزرسانی عددی روی تابع V است که به صورت ذیل است:

$$V_{new}(s) := V_{old}(s) + \alpha (r(s, a) + \gamma V_{old}(s') - V_{old}(s)) \quad (27)$$

می‌توان بروزرسانی فوق را به صورت دیگری نیز نوشت. مشاهده می‌شود این بروزرسانی در واقع یک میانگین‌گیری از مقادیر ارزش‌ها روی تابع V است.

$$V_{new}(s) := (1 - \alpha) V_{old}(s) + \alpha (r(s, a) + \gamma V_{old}(s')) \quad (28)$$

۶.۱.۱. مسیرهای شایستگی^{۲۱}

این حالت حالتی تعمیم‌یافته از الگوریتم $TD(0)$ معرفی شده در قسمت قبل است که با نماد $TD(\lambda)$ نشان داده می‌شود. تصور کنیم که حالت s_4 قرار داریم و در این حالت پاداش r_4 بسیار بزرگ را دریافت کرده‌ایم که بسیار بزرگتر از اختلاف محلی $\gamma V(s_5) - V(s_4)$ است. لذا مقدار $V(s_4)$ توسط رابطه‌ی (۲۷) بسیار افزایش خواهد یافت. در این حالت شاید لازم بوده باشد که $V(s_3)$ نیز افزایش یابد. چرا که در لحظه‌ی قبل توسط رابطه‌ی $V(s_3) + \gamma V(s_4) - V(s_3)$ بروز شده‌است و می‌دانیم $V(s_4)$ که در آن زمان کم‌تر بوده است. به همین صورت باید مقدار V تمامی لحظات قبل افزایش یابند. مسیرهای شایستگی در واقع به عنوان حافظه‌ای عمل می‌کنند که با اعمال آنها، بروزرسانی تابع ارزش را تسهیل می‌بخشند. در حقیقت اگر تصمیم‌گیرنده در مسیر حرکت خود روی حالت‌ها، پاداش‌های r_{t-2} و r_{t-1} و r_t را دریافت کند، باید بروزرسانی $V(s_{t-2})$ زیر را روی تابع ارزش انجام داد:

$$V_{new}(s_{t-2}) := V_{old}(s_{t-2}) + \alpha [r_{t-2} + \gamma r_{t-1} + \gamma^2 r_t + \gamma^3 V_{old}(s_{t+1}) - V_{old}(s_{t-2})] \quad (29)$$

در حالت کلی می‌توان ساختار بروزرسانی با مسیرهای شایستگی را به صورت زیر معرفی کرد:

20 Temporal difference learning

21 Eligibility traces

$$V_{new}(s) := V_{old}(s) + \alpha (r(s, a) + \gamma V_{old}(s') - V_{old}(s)) e(s) \quad (30)$$

که در آن $e(s)$ ماتریس مسیر شایستگی است. بصورت صریح می توان ماتریس مسیر شایستگی را بصورت زیر تعریف کرد:

$$e(s) = \sum_{k=1}^t (\lambda \gamma)^{t-k} \delta_{s, s_k} \quad (31)$$

که در آن λ ضریب فراموشی است و δ_{s, s_k} تابع دلتای کرانکر است. می توان در هر تکرار این ماتریس را به این صورت بروز رسانی کرد. در واقع با حضور در هر حالت، درایه ی متناظر با آن حالت، حضور در آن حالت را به خاطر می سپارد.

$$e(s) = \begin{cases} \lambda \gamma e(s) + 1 & s = \text{current} - \text{state} \\ \lambda \gamma e(s) & \text{else} \end{cases} \quad (32)$$

چنین الگوریتمی $TD(\lambda)$ نام دارد. در حالتی که $\lambda = 0$ الگوریتم به تبدیل $TD(0)$ خواهد شد و در حالتی که $\lambda = 1$ الگوریتم تمامی حالاتی را که از آن گذشته است را در نظر خواهد گرفت. به چنین متدی، «مونت کارلو»^{۲۲} گویند. اگرچه به ازای λ نزدیک یک، هزینه ی محاسباتی این الگوریتم بسیار بالاست، ولی نشان داده شده است که در این حالت همگرایی الگوریتم با سرعت بسیار بیشتری انجام می گیرد. لذا استفاده از مسیرهای شایستگی می تواند عملیات آموزش را بسیار سرعت ببخشد.

۶.۲. یادگیری- Q ^{۲۳}

یادگیری Q از بروز رسانی زیر برای برای تابع Q استفاده می کند. [4]

$$Q_{new}(s, a) := Q_{old}(s, a) + \alpha (r(s, a) + \gamma \max_{a'} Q_{old}(s', a') - Q_{old}(s, a)) \quad (33)$$

در این تعریف $\alpha \in [0, 1]$ ضریب یادگیری است. قاعده ی یادگیری Q با احتمال یک همگرا خواهد شد. بصورت معادل می توان قاعده ی یادگیری فوق را بصورت زیر نوشت. مشاهده می شود می توان رابطه ی زیر را به عنوان یک میانگین دو مقدار در نظر گرفت.

$$Q_{new}(s, a) := (1 - \alpha) Q_{old}(s, a) + \alpha (r(s, a) + \gamma \max_{a'} Q_{old}(s', a')) \quad (34)$$

اثبات همگرایی یادگیری Q در [5] آمده است. لازم به تذکر است که قاعده ی یادگیری تکراری برای تابع Q معادل یادگیری $TD(0)$ برای تابع V است.

۷. گزینه های مختلف برای پیاده سازی تقریب زننده ی درونی یادگیرنده

با توجه به اینکه در اغلب سیستم های واقعی فضای حالت سیستم و فضای اعمال تصمیم گیرنده پیوسته اند، باید چاره ای برای پیاده سازی الگوریتم ها روی آنها اندیشید. در واقع هدف طراحی ساختاری برای ایجاد و تقریب $V(s)$ یا $Q(s, a)$ است. اولین راهی که در استفاده از الگوریتم یادگیری تقویتی روی حالت/عمل پیوسته به ذهن می رسد، گسسته سازی روی بازه ی حالت و عمل است. می توان در نقاطی که دقت بیشتری مورد نیاز است، بازه ی گسسته سازی را کوچکتر در نظر گرفت. روش گسسته سازی چندین اشکال دارد:

- انجام گسسته سازی باعث از بین رفتن دقت مورد نیاز می شود و باعث پله پله شدن انجام اعمال می شود. لذا تصمیمات و رفتارهای روبات بصورت نرم انجام نمی گیرد.
- شاید به نظر برسد که می توان مشکل اخیر را با افزایش تعداد گسسته سازی ها جبران کرد. با توجه به اینکه تعداد حالت ها، با ضرب تعداد گسسته سازی روی هر بعد بدست می آید، تعداد حالت ها، با افزایش تعداد گسسته سازی ها

22 Mont Carlo methods

23 Q-learning

بصورت نمایی افزایش می‌یابد. در واقع گسسته‌سازی زیاد، باعث ایجاد افزایش بی‌رویه‌ی ابعاد^{۲۴} حالت می‌شود که باعث کندی الگوریتم خواهد شد. همچنین برای آموزش چنین سیستمی، به تعداد آزمایش بسیار بیشتری هم نیاز است.

لذا برای رفع مشکلات ذکر شده لازم است از ساختارهایی برای تقریب تابع یا استفاده شود. با توجه ساختار یادگیری تقویتی در صورتی که دارای ویژگی‌های زیر باشد، مناسب‌تر است:

- قابلیت آموزش به ازای تعداد نمونه‌های آموزشی کم.
- قابلیت توسعه‌ی نتایج به حالاتی که تابحال مشاهده نشده‌اند با دقت مناسب.
- قابلیت آموزش در سرعتی قابل قبول
- قابلیت پاسخ سریع در زمان نیاز؛ در صورتی که تخمین زننده کند باشد و با تاخیر پاسخ دهد، نمی‌تواند گزینه‌ی مناسبی باشد؛ تصمیم‌گیری با وقفه می‌تواند موجب از بین رفتن تعادل سیستم شود.

با توجه به ویژگی‌های ذکر شده، به چندین تقریب‌زننده که یا استفاده شده‌اند یا قصد استفاده از آن‌ها وجود دارد، اشاره می‌شود.

۷.۱. استفاده از شبکه‌ی عصبی MLP

شبکه‌ی عصبی نمونه‌ی یک تقریب‌زننده‌ی نسبتاً مناسب است. اولین بار در [6] برای آموزش یک بازی تخته نرد از شبکه‌ی عصبی و یادگیری تقویتی استفاده شده‌است. از این نمونه به عنوان ماهرترین بازی تخته در دنیا نام برده می‌شود! برخی مشکلات موجود در آموزش شبکه‌ی عصبی باعث دشواری آموزش آن می‌شوند. کندی بودن سرعت آموزش -Back Propagation باعث سخت شدن آموزش آن می‌شود. در این شرایط می‌توان الگوریتم‌های پیشرفته‌تری برای آموزش شبکه‌ی عصبی استفاده کرد؛ از جمله Rprop که در [7] معرفی و در [8] نیز استفاده شده‌است. این الگوریتم داده‌ها را به‌صورت گروهِی^{۲۵} آموزش می‌دهد.

نمونه‌هایی از پیاده‌سازی شبکه عصبی در [9] و [10] و [11] نیز ارائه شده‌است. استفاده از شبکه‌ی عصبی برای تقریب‌زننده‌ی تابع ارزش Q در یادگیری تقویتی بسیار دشوار است؛ بخصوص اگر آموزش مورد نظر «بدون مدل» باشد! مطالعه‌ی روش‌ها و ترندهای عمگرای شبکه‌ی عصبی در این کاربرد می‌تواند بسیار مفید باشد.

۷.۲. استفاده از شبکه‌ی عصبی RBF

ویژگی تقریب محلی در استفاده از شبکه‌های RBF بسیار مورد توجه است. می‌توان شبکه‌های عصبی برای تقریب $V(s)$ یا $Q(s, a)$ استفاده کرد. نمونه‌هایی از این پیاده‌سازی در [12] ارائه شده‌است.

۷.۳. استفاده از تقریب فازی

نمونه‌هایی از این پیاده‌سازی در [13] ارائه شده‌است.

۷.۱. استفاده از تقریب زننده CMAC

نمونه‌هایی از این پیاده‌سازی در [14] ارائه شده‌است.

۷.۲. استفاده از تقریب زننده بر اساس مش‌بندی n-بعدی دلانی^{۲۶}

مثلث‌بندی دلانی^{۲۷}، روشی در هندسه‌ی محاسباتی برای ایجاد مثلث‌بندی تعدادی نقاط است. نمونه‌ای از این استراتژی مثلث-بندی در شکل -۵ (الف) نشان داده شده‌است.

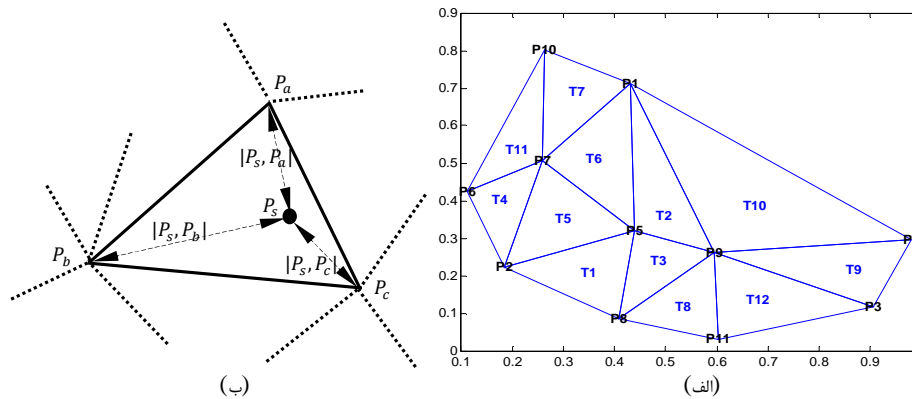
24 Curse of dimensionality

25 Batch

26 Delaunay n-dimensional approximation

27 Delaunay triangulation

با نسبت دادن مقادیر به گره‌ها و انجام درون‌یابی خطی درون هر مثلث می‌توان، تقریبی از مقدار سه راس را بدست آورد. بدین ترتیب یک تقریب‌زننده‌ی دو متغیره با دقت بالا بدست می‌آید.



شکل ۵- (الف) نمونه‌ای از مثلث‌بندی دلانی (ب) درون‌یابی خطی با استفاده از مثلث‌بندی دلانی

در حالت n -بعدی شکل مورد نظر تبدیل به یک سیمپلکس^{۲۸} خواهد شد. در این حالت پیچیدگی زمانی الگوریتم خانه‌بندی دلانی $O(dn^2)$ است که در آن d تعداد بعد و n تعداد گره‌هاست. این تقریب‌زننده تابحال چندان مورد توجه قرار نگرفته‌است به نظر می‌رسد با بهبود آن، بتواند با سایر تقریب‌زننده‌هایی همچون شبکه‌عصبی رقابت کند. تابحال چنین تقریب‌زننده‌ای برای یک سیستم یادگیری تقویتی استفاده نشده‌است.

۸. سایر مسائل مطرح در بهینه‌سازی الگوریتم یادگیری تقویتی

۸.۱. چالش تعادل بین جستجو در فضا و انجام بهترین عمل

یکی از مهم‌ترین چالش‌ها در انجام اعمال برای یادگیری، استراتژی انتخاب اعمال برای آزمایش است. در حالت کلی دو دسته عمل می‌توان انجام داد:

- انجام بهترین عمل^{۲۹} بر اساس شناختی که تابحال از محیط داشته‌ایم.
- انجام عملی غیر از عملی که به عنوان عمل بهینه می‌شناسیم. در واقع انجام چنین عملی برای کسب تجربه و جستجو^{۳۰} در فضای اعمال و حالت‌ها صورت می‌گیرد.

در صورتی که توازن بین دو دسته از اعمال فوق در فاز یادگیری به درستی صورت نگیرد، یادگیری می‌تواند با مشکلات چالش برانگیزی روبرو شود. برای مثال اگر تصمیم‌گیرنده با جستجو در ناحیه‌ای محدود به این نتیجه برسد که عمل خاصی بهینه است و با تکرار آن عمل بهینه از جستجوی سایر نقاط فضای جستجو صرف نظر کند، بسیار محتمل است که از عمل بهینه‌ی دیگری صرف نظر کند.

در ادامه چندین روش برای ایجاد توازن بین انتخاب تصادفی عمل و انتخاب عمل بهینه پیشنهاد شده‌است.

۸.۱.۱. استراتژی تصمیم‌گیری ϵ -حریصانه^{۳۱}

در این روش اگر فرض کنیم ϵ احتمالی نسبتاً کوچک باشد، انتخاب با احتمالات زیر انجام خواهد گرفت:

28 Simplex
29 Exploit
30 Explore
31 ϵ -greedy exploration

$$\begin{cases} \Pr(\pi^*(s)) = 1 - \varepsilon \\ \Pr(\text{random-action}) = \varepsilon \end{cases} \quad (35)$$

می‌توان مقدار ε را به تدریج با گذر زمان کاهش داد.

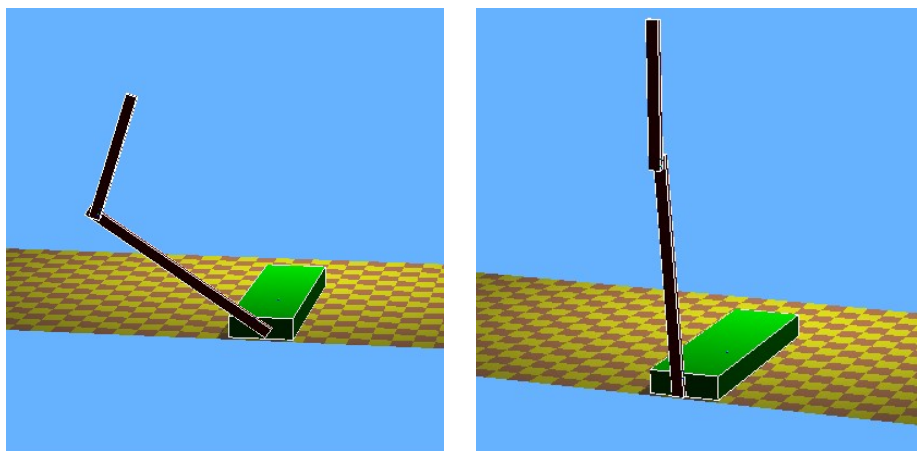
۸.۱.۲. استراتژی تصمیم‌گیری بولتزمن^{۳۲}

در این روش تصمیم‌گیری به هر عمل احتمالی مطابق رابطه‌ی زیر نسبت داده می‌شود و مطابق با احتمال آن، عمل مورد نظر انتخاب می‌شود. در این رابطه $ER(a)$ میزان مجموع پاداش انتظاری برای عمل مورد نظر است. مقدار T مشهور به «پارامتر دما» است که به تدریج کاهش می‌یابد. لذا به تدریج احتمال انجام بهترین اعمال بیشتر می‌شود.

$$P(a) = \frac{e^{ER(a)/T}}{\sum_{a_i \in A} e^{ER(a_i)/T}} \quad (36)$$

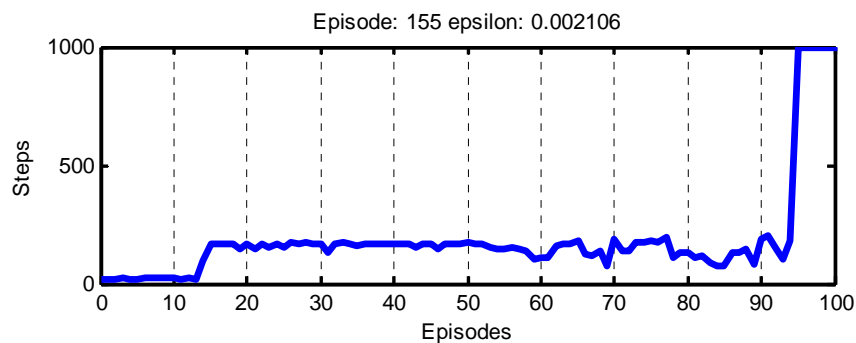
۹. نتایج پیاده‌سازی‌های شبیه‌سازی

شبیه‌سازی الگوریتم یادگیری تقویتی توسط نرم‌افزار Webots صورت می‌گیرد. این نرم‌افزار امکان این را فراهم می‌کند که بتوان از مفسر MATLAB برای کدنویسی و اجرای الگوریتم استفاده کرد. لذا تمامی کدها در محیط MATLAB پیاده‌سازی شده‌اند.

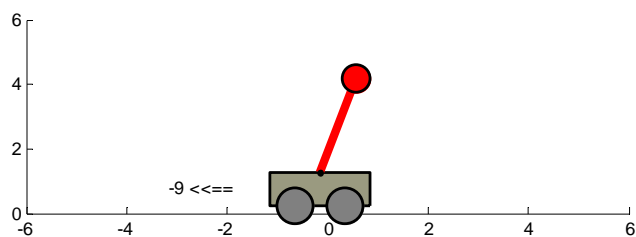


شکل-۶- نمایش شبیه‌سازی Pendubot در محیط شبیه‌سازی Webots

در شکل-۷ نتیجه پیاده‌سازی الگوریتم یادگیری Q روی مساله‌ی Cart-Pole نشان داده شده‌است. مشاهده می‌شود که توانسته‌ایم الگوریتم را پس از حدود ۹۵ بار آزمایش همگرا کنیم. باید تاکید کرد که این الگوریتم یادگیری را بدون مدل و بدون در دسترس داشتن مقادیر انجام می‌دهد. تابع مورد استفاده برای این تقریب، جدولی گسسته از مقادیر است که بروزسانی روی آن، در هر همسایگی انجام می‌شود. شرح دقیق این روش در گزارش بعد ارائه خواهد شد.



شکل ۷- نمودار همگرایی برای حفظ تعادل روبات Cart-Pole



شکل ۸- مساله ی Cart-Pole

۱۰. پیاده سازی عملی

نمونه ی عملی ساخته شده از روبات Pendubot در شکل ۹ نشان داده شده است. در ادامه ی پروژه روبات Pendubot ساخته شده توسط واسط به رایانه متصل خواهد شد و شبیه سازی ها بصورت عملی روی روبات مورد نظر پیاده سازی می شوند. پیش بینی می شود به علت ماهیت نویزی محیط و پاسخ غیر خطی موتور، الگوریتم های بدون مدل نتیجه ی بهتری داشته باشند. نتایج پیاده سازی در محیط واقعی در گزارش بعد ارائه خواهد شد.



شکل ۹- نمونه ی واقعی روبات Pendubot ساخته شده

۱۱. نتیجه‌گیری و کار آینده

در این گزارش فنی، خلاصه‌ای از پیشرفت پروژه‌ی حفظ تعادل روبات Pendubot ارائه شد. همچنین مروری بر اصلی‌ترین روش‌های یادگیری تقویتی شد.

کار آینده در این پروژه به تکمیل سخت‌افزار و پیاده‌سازی الگوریتم‌های مطرح‌شده اختصاص دارد. در واقع هدف این است که کارایی الگوریتم‌های مذکور در محیط شبیه‌سازی و پیاده‌سازی عملی سنجیده شود. بررسی چالش‌ها و تفاوت‌های موجود بین شبیه‌سازی و پیاده‌سازی واقعی می‌تواند منجر به تولید روش‌ها و الگوریتم‌های جدید شود. همچنین سعی خواهد شد در روش‌های پیشنهادشده بهبود ایجاد شده و سرعت همگرایی آن‌ها افزایش یابند.

با توجه به اینکه مساله‌ی حفظ تعادل روبات Pendubot مساله‌ای نسبتاً دشوار است، با پیاده‌سازی موفقیت‌آمیز الگوریتم روی آن، می‌توان راه را بر سایر مسائل مطرح در مهندسی از جمله مهندسی کنترل گشود.

۱۲. تقدیر و تشکر

نویسندگان، از مهندس مجتبی خلیجی به خاطر راهنمایی‌ها در زمینه‌ی الگوریتم یادگیری تقویتی قدردانی می‌کنند. همچنین امکانات فراهم‌شده در آزمایشگاه کنترل صنعتی دانشکده‌ی دانشگاه صنعتی امیرکبیر و حمایت جناب دکتر صمدی، پشتوانه‌ی این پروژه بوده‌اند.

۱۳. مراجع

- [1] Gary Boone, "Minimum-Time Control of Acrobot," in *International Conference on Robotics and Automation*, 1997, pp. 3281--3287.
- [2] Andrew G. Barto Richard S. Sutton, *Reinforcement Learning: An Introduction.*: MIT Press, Cambridge, MA, 1998.
- [3] M.L.Littman, A.Moore L.P.Kaelbling, "Reinforcement Learning: A Surey," *Journal of Artificial Intelligence Research*, 1996.
- [4] C. J. C. H Watkins, "Learning from delayed rewards.," Cambridge University, Cambridge, England, Doctoral thesis 1989.
- [5] P Dayan C. J. C. H. Watkins, "Technical note: Q-learning," *Machine Learning*, vol. 8(3/4), pp. 279-292, 1992.
- [6] Gerald Tesauro, "Temporal difference learning and TD-Gammon," *Communications of the ACM*, vol. 38, no. 3, 1995.
- [7] Heinrich Braun Martin Riedmiller, "A Direct Adaptive Method for Faster Backpropagation Learning: The RPROP Algorithm," in *IEEE INTERNATIONAL CONFERENCE ON NEURAL NETWORKS*, 1993, pp. 586--591.
- [8] Martin Riedmiller, "Neural Fitted Q Iteration - First Experiences with a Data Efficient Neural Reinforcement Learning Method," in *In 16th European Conference on Machine Learning(EMCL)*, 2005.
- [9] Claude Touzet, "Neural reinforcement learning for behaviour synthesis," *Robotics and Autonomous Systems*, vol. 22, pp. 251--281, 1997.
- [10] Siwei Luo, Qingyong Li Xianhua Zeng, "An associative sparse coding neural network and applications," vol. 73, no. 4-6, 2010.
- [11] Shivaram Kalyanakrishnan and Peter Stone, "Batch Reinforcement Learning in a Complex Domain," in *The Sixth International Joint Conference on Autonomous Agents and Multiagent Systems.*: ACM, pp. 650--657.
- [12] Victor Uc Cetina, "Multilayer Perceptrons with Radial Basis Functions as Value Functions in Reinforcement Learning," in *ESANN-European Symposium on Artificial Neural Networks-Advances in Computational Intelligence and Learning*, Burges, 2008.

- [13] Damien Ernst, Bart De Schutter and Robert Babuška Lucian Buşoniu, "Continuous-State Reinforcement Learning with Fuzzy Approximation," vol. 4865, 2008.